

# 第一章 解耦控制

# 本章内容

— automatic control — automatic control — automatic control — automatic control —

1. 基本概念
2. 串联补偿器方法
3. 状态反馈+输入变换
4. 解耦阶常数的性质
5. 闭环极点配置
6. 静态解耦控制

# 基本概念

---

# 多变量系统

— automatic control — automatic control — automatic control — automatic control — automatic control —



# 飞机控制

— automatic control — automatic control — automatic control — automatic control — automatic control —

某飞机垂面运动线性化模型：

$$\dot{x}(t) = Ax(t) + Bu(t)$$

$$y(t) = Cx(t)$$

其中状态分量

$x_1(t)$ 为高度，

$x_2(t)$ 为前向速度，

$x_3(t)$ 为俯仰角，

$x_4(t)$ 为俯仰角速度，

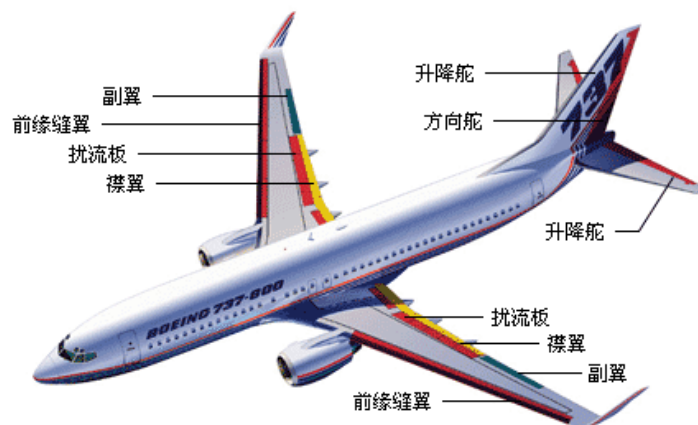
$x_5(t)$ 为垂直速度；

控制分量

$u_1(t)$ 为扰流板角度，

$u_2(t)$ 为前向加速度，

$u_3(t)$ 为升降舵角度。

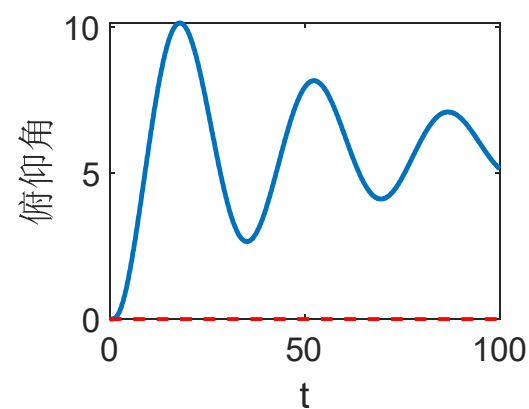
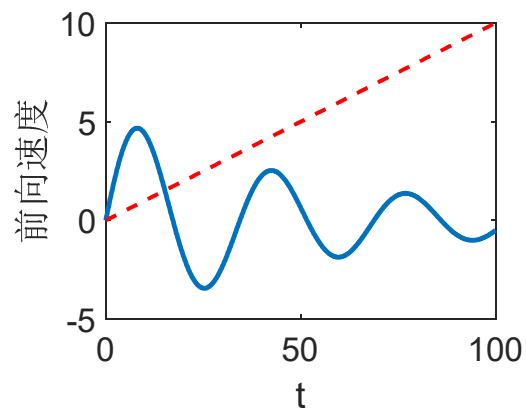
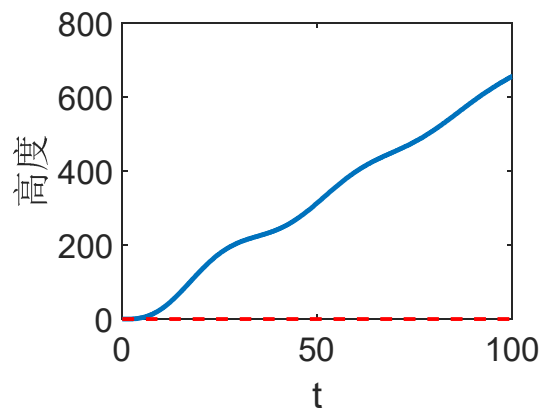
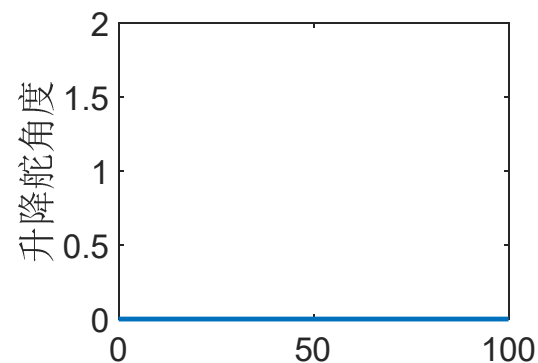
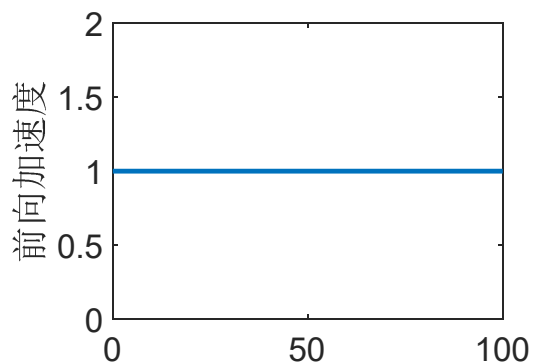
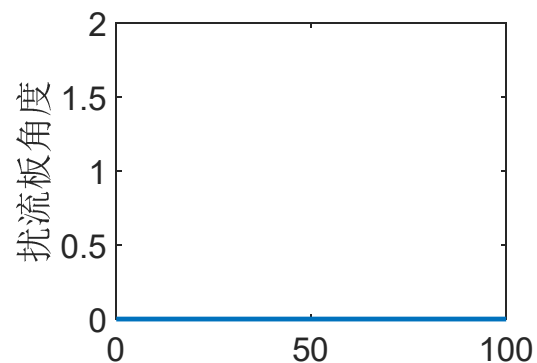


$$A = \begin{bmatrix} 0 & 0 & 1.132 & 0 & -1 \\ 0 & -0.0538 & -0.1715 & 0 & 0.075 \\ 0 & 0 & 0 & 1 & 0 \\ 0 & 0.0485 & 0 & -0.8556 & -1.013 \\ 0 & -0.2909 & 0 & 1.0532 & -0.6859 \end{bmatrix}$$

$$B = \begin{bmatrix} 0 & 0 & 0 \\ -0.12 & 1 & 0 \\ 0 & 0 & 0 \\ 4.419 & 0 & -1.665 \\ 1.575 & 0 & -0.732 \end{bmatrix}, \quad C = \begin{bmatrix} 1 & 0 & 0 & 0 & 0 \\ 0 & 1 & 0 & 0 & 0 \\ 0 & 0 & 1 & 0 & 0 \end{bmatrix}$$

# 控制互耦

— automatic control — automatic control — automatic control — automatic control —



调整前向加速度时，不仅水平速度改变，高度和俯仰角也变化。  
能否将控制与输出的耦合解开，使得每个控制只调整一个输出？

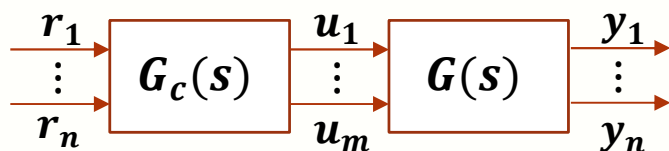
# 解耦控制问题

— automatic control — automatic control — automatic control — automatic control —

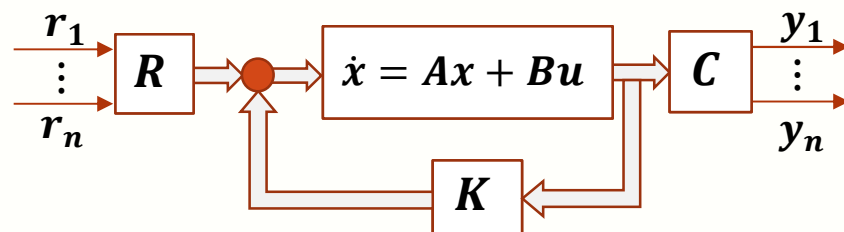
如何通过输入变换和反馈改造系统结构，使系统的参考输入和输出之间一一对应、互不耦合。

优点：将控制设计分解为多个易于分析的单变量问题。

动态变换：串联补偿

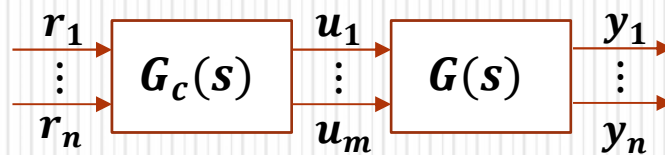


静态变换：输入变换+状态反馈



# 串联补偿器方法

---





# 解耦系统

— automatic control — automatic control — automatic control — automatic control —

记  $G(s)$  为  $r$ -输入  $r$ -输出线性定常系统的传递函数矩阵。

定义1: 若  $G(s)$  为 **非奇异对角阵**，则称该系统为输入输出解耦系统。

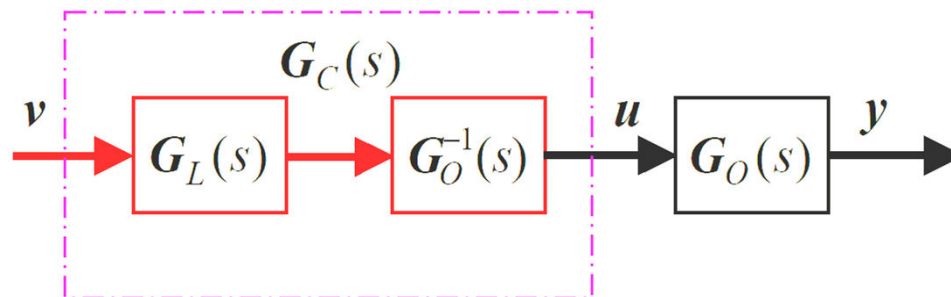
$$G(s) = \begin{bmatrix} g_1(s) & & \\ & \ddots & \\ & & g_r(s) \end{bmatrix}$$

定义2: 对角元素为 **积分器** 的解耦系统称为积分型解耦系统 (Integral Decoupling)

$$G(s) = \begin{bmatrix} \frac{1}{s^{\alpha_1}} & & \\ & \ddots & \\ & & \frac{1}{s^{\alpha_r}} \end{bmatrix}$$

# 串联补偿器方法

— automatic control — automatic control — automatic control — automatic control —



对于给定的多输入多输出系统  $y = G_O(s)u$ , 若  $G_O(s)$  可逆, 则可以通过串联补偿器:

$$G_C(s) = G_O^{-1}(s)G_L(s), \text{ 其中 } G_L(s) = \mathbf{diag} \left[ \frac{1}{s^{\alpha_1}}, \dots, \frac{1}{s^{\alpha_m}} \right]$$

将系统补偿为积分型解耦系统  $y(s) = \mathbf{diag} \left[ \frac{1}{s^{\alpha_1}}, \dots, \frac{1}{s^{\alpha_m}} \right] v(s)$ :

$$y_i(s) = \frac{1}{s^{\alpha_i}} v_i(s), \quad i = 1, 2, \dots, m$$

## 示例

— automatic control — automatic control — automatic control — automatic control —

求一个串联补偿器使下述系统实现积分型解耦控制。

$$G_O(s) = \begin{bmatrix} \frac{1}{s} & \frac{-1}{s+1} \\ \frac{s-1}{s(s+1)} & \frac{1}{s+1} \end{bmatrix}$$

解：可构造如下补偿器实现积分型解耦

$$G_C(s) = G_O^{-1}(s)G_L(s) = \begin{bmatrix} \frac{s+1}{2} & \frac{s+1}{2} \\ -\frac{s^2-1}{2s} & \frac{(s+1)^2}{2s} \end{bmatrix} \begin{bmatrix} \frac{1}{s^{\alpha_1}} & \\ & \frac{1}{s^{\alpha_2}} \end{bmatrix}$$

问题： $\alpha_1$ 和 $\alpha_2$  应该如何选取？

# 示例

— automatic control — automatic control — automatic control — automatic control —

如下形式的  $\mathbf{G}_L(s)$  是否可以实现解耦？

- $\mathbf{G}_L(s) = \text{diag}\left[1, \frac{1}{s}\right]$

- $\mathbf{G}_L(s) = \text{diag}\left[\frac{1}{s}, \frac{1}{s^2}\right]$

- $\mathbf{G}_L(s) = \text{diag}\left[\frac{1}{s+1}, \frac{1}{s+2}\right]$

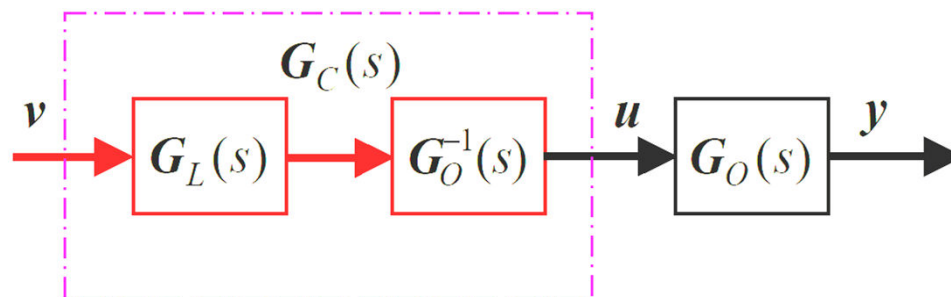
- $\mathbf{G}_L(s) = \text{diag}\left[\frac{s+4}{s^2+3s+2}, \frac{s-1}{s^2+8s+100}\right]$

$$\mathbf{G}_C(s) = \begin{bmatrix} \frac{s+1}{2} & \frac{s+1}{2} \\ -\frac{s^2-1}{2s} & \frac{(s+1)^2}{2s} \end{bmatrix} \begin{bmatrix} \frac{1}{s^{\alpha_1}} & \\ & \frac{1}{s^{\alpha_2}} \end{bmatrix}$$

为保证物理可实现性， $\alpha_1 \geq 1, \alpha_2 \geq 1$  ( $\Rightarrow$  解耦阶常数)

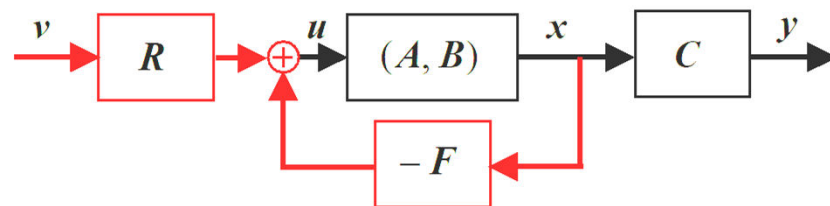
# 串联型补偿的优缺点

— automatic control — automatic control — automatic control — automatic control —



- (1) 系统结构简单：无需对输出或者状态进行量测；
- (2) 需要被补偿系统的传递函数矩阵  $\mathbf{G}_O(s)$  可逆；
- (3) 动态补偿器  $\mathbf{G}_C(s)$  引入了新的模态，控制律复杂；
- (4) 可能存在不稳定零极相消：  $\mathbf{G}_O(s)\mathbf{G}_O^{-1}(s)\mathbf{G}_L(s)$ .

# 状态反馈 + 输入变换



# 状态空间模型

— automatic control — automatic control — automatic control — automatic control —

考虑如下待解耦的系统  $\begin{cases} \dot{\mathbf{x}} = \mathbf{A}\mathbf{x} + \mathbf{B}\mathbf{u} \\ \mathbf{y} = \mathbf{C}\mathbf{x} \end{cases}$ , 其中  $\mathbf{x} \in \mathbb{R}^n, \mathbf{u} \in \mathbb{R}^m, \mathbf{y} \in \mathbb{R}^m$ . 尝试采用“状态反馈+输入变换”:

$$\mathbf{u} = \mathbf{R}\mathbf{v} - \mathbf{F}\mathbf{x}$$

其中  $\mathbf{v} \in \mathbb{R}^m$  是参考输入. 变换后的闭环系统如下:

$$\Sigma_L: \begin{cases} \dot{\mathbf{x}} = (\mathbf{A} - \mathbf{B}\mathbf{F})\mathbf{x} + \mathbf{B}\mathbf{R}\mathbf{v} \\ \mathbf{y} = \mathbf{C}\mathbf{x} \end{cases}$$

若闭环系统  $(\mathbf{A} - \mathbf{B}\mathbf{F}, \mathbf{B}\mathbf{R}, \mathbf{C})$  为解耦系统, 即闭环传递函数矩阵  $\mathbf{G}(s) = \mathbf{C}(s\mathbf{I} - \mathbf{A} + \mathbf{B}\mathbf{F})^{-1}\mathbf{B}\mathbf{R}$  为非奇异对角矩阵, 则称系统  $(\mathbf{A}, \mathbf{B}, \mathbf{C})$  可  $\{\mathbf{F}, \mathbf{R}\}$  解耦.

# 分析思路

— automatic control — automatic control — automatic control — automatic control —

输出方程  $y = Cx$  里不显含  $u$ , 说明  $y(t)$  与  $u(t)$  无关吗?

$u(t)$  通过状态方程

$$\dot{x}(t) = Ax(t) + Bu(t)$$

影响  $x(t)$  的变化, 从而可能影响  $y(t)$  的变化, 即  $\dot{y}(t)$ ,  $\ddot{y}(t)$ ,  $\dots$  等.

思路: 分析每个  $y_i(t)$  及其各阶导数与  $v_i(t)$  的依赖关系.



# 解耦阶常数

— automatic control — automatic control — automatic control — automatic control —

考察待解耦系统，将第*i*个输出 $y_i = c_i^\top x$ 对*t*求导：

$$y_i^{(1)} = c_i^\top \dot{x} = c_i^\top Ax + c_i^\top Bu$$

$$y = Cx = \begin{bmatrix} c_1^\top x \\ \vdots \\ c_m^\top x \end{bmatrix}$$

若 $c_i^\top B = 0$ ，则 $y_i^{(1)}$ 不显含 $u$ ，可继续求导

$$y_i^{(2)} = c_i^\top A\dot{x} = c_i^\top A^2x + c_i^\top ABu$$

若 $c_i^\top AB = 0$ ，则 $y_i^{(2)}$ 不显含 $u$ ，仍可继续求导…

设求导 $\alpha_i$ 次后有：

$$y_i^{(\alpha_i)} = c_i^\top A^{\alpha_i}x + c_i^\top A^{\alpha_i-1}Bu, \quad c_i^\top A^{\alpha_i-1}B \neq 0$$

# 解耦阶常数

— automatic control — automatic control — automatic control — automatic control —

定义：输入  $u$  可以直接影响  $y_i$  对时间导数的最小阶，即：

$$\alpha_i \triangleq \min\{k | c_i^\top A^{k-1} B \neq 0, 1 \leq k \leq n\}, \quad i = 1, \dots, m.$$

是否有可能  $c_i^\top A^{k-1} B = 0$  对所有  $1 \leq k \leq n$  均成立？

如果  $m$  个  $\alpha_i$  已求出，则下式成立：

$$y^{(\alpha)} = \begin{bmatrix} y_1^{(\alpha_1)} \\ \vdots \\ y_m^{(\alpha_m)} \end{bmatrix} = \begin{bmatrix} c_1^\top A^{\alpha_1} \\ \vdots \\ c_m^\top A^{\alpha_m} \end{bmatrix} x + \begin{bmatrix} c_1^\top A^{\alpha_1-1} B \\ \vdots \\ c_m^\top A^{\alpha_m-1} B \end{bmatrix} u \triangleq Lx + D_0 u$$

其中  $D_0 \in \mathbb{R}^{m \times m}$  称为可解耦矩阵.

# 解耦控制律设计

— automatic control — automatic control — automatic control — automatic control —

引入反馈  $\mathbf{u} = \mathbf{R}\mathbf{v} - \mathbf{F}\mathbf{x}$ ，则对于新的参考输入：

$$\mathbf{y}^{(\alpha)} = \mathbf{L}\mathbf{x} + \mathbf{D}_0\mathbf{u} = (\mathbf{L} - \mathbf{D}_0\mathbf{F})\mathbf{x} + \mathbf{D}_0\mathbf{R}\mathbf{v}$$

显然，若  $\det \mathbf{D}_0 \neq 0$ ，则可以选择反馈系数：

$$\mathbf{R} = \mathbf{D}_0^{-1}, \quad \mathbf{F} = \mathbf{D}_0^{-1}\mathbf{L}$$

使得  $\mathbf{y}^{(\alpha)} = \mathbf{v}$ ，即  $\alpha$  阶积分型解耦：

$$y_i^{(\alpha_i)} = v_i, \quad i = 1, \dots, m.$$

# 可解耦条件

— automatic control — automatic control — automatic control — automatic control —

定理：系统  $(A, B, C)$  可  $\{F, R\}$  解耦，当且仅当可解耦矩阵

$$D_0 = \begin{bmatrix} c_1^T A^{\alpha_1-1} B \\ \vdots \\ c_m^T A^{\alpha_m-1} B \end{bmatrix}$$

为非奇异矩阵。【充分性显然，必要性怎么证明？】

此时闭环传递函数阵为：
$$G(s) = \begin{bmatrix} 1/s^{\alpha_1} & & \\ & \ddots & \\ & & 1/s^{\alpha_m} \end{bmatrix}.$$

# 示例

— automatic control — automatic control — automatic control — automatic control —

给定受控系统  $\Sigma_O(A, B, C)$ ，设计  $\{F, R\}$  解耦。

$$A = \begin{bmatrix} 0 & 0 & 0 \\ 0 & 0 & 1 \\ -1 & -2 & -3 \end{bmatrix} \quad B = \begin{bmatrix} 1 & 0 \\ 0 & 0 \\ 0 & 1 \end{bmatrix} \quad C = \begin{bmatrix} 1 & 1 & 0 \\ 0 & 0 & 1 \end{bmatrix}$$

解：计算耦合阶常数

$$c_1^\top B = [1 \quad 0] \neq 0 \Rightarrow \alpha_1 = 1;$$

$$c_2^\top B = [0 \quad 1] \neq 0 \Rightarrow \alpha_2 = 1.$$

$$D_0 = \begin{bmatrix} c_1^\top B \\ c_2^\top B \end{bmatrix} = \begin{bmatrix} 1 & 0 \\ 0 & 1 \end{bmatrix} \Rightarrow \text{可解耦}$$

$$L = \begin{bmatrix} c_1^\top A^{\alpha_1} \\ c_2^\top A^{\alpha_2} \end{bmatrix} = \begin{bmatrix} 0 & 0 & 1 \\ -1 & -2 & -3 \end{bmatrix}$$

## 示例

— automatic control — automatic control — automatic control — automatic control —

计算 $\{F, R\}$ 反馈系数矩阵:

- $R = D_0^{-1} = \begin{bmatrix} 1 & 0 \\ 0 & 1 \end{bmatrix}$ ,  $F = D_0^{-1}L = \begin{bmatrix} 0 & 0 & 1 \\ -1 & -2 & -3 \end{bmatrix}$

校验反馈后闭环传递函数矩阵:

$$G_L(s) = C(sI - A + BF)^{-1}BR = \begin{bmatrix} \frac{1}{s} & 0 \\ 0 & \frac{1}{s} \end{bmatrix}$$

可以看出, 闭环系统确是积分型解耦系统.

# 飞机垂面运动控制

— automatic control — automatic control — automatic control — automatic control — automatic control —

某飞机垂面运动线性化模型：

$$\dot{x}(t) = Ax(t) + Bu(t)$$

$$y(t) = Cx(t)$$

其中状态分量

$x_1(t)$ 为高度，

$x_2(t)$ 为前向速度，

$x_3(t)$ 为俯仰角，

$x_4(t)$ 为俯仰角速度，

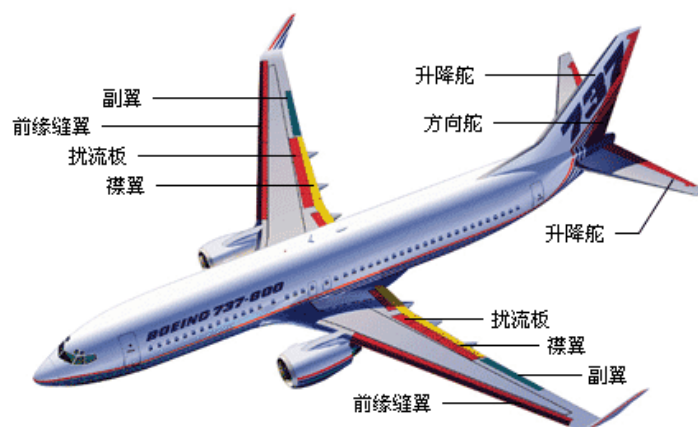
$x_5(t)$ 为垂直速度；

控制分量

$u_1(t)$ 为扰流板角度，

$u_2(t)$ 为前向加速度，

$u_3(t)$ 为升降舵角度。



$$A = \begin{bmatrix} 0 & 0 & 1.132 & 0 & -1 \\ 0 & -0.0538 & -0.1715 & 0 & 0.075 \\ 0 & 0 & 0 & 1 & 0 \\ 0 & 0.0485 & 0 & -0.8556 & -1.013 \\ 0 & -0.2909 & 0 & 1.0532 & -0.6859 \end{bmatrix}$$

$$B = \begin{bmatrix} 0 & 0 & 0 \\ -0.12 & 1 & 0 \\ 0 & 0 & 0 \\ 4.419 & 0 & -1.665 \\ 1.575 & 0 & -0.732 \end{bmatrix}, \quad C = \begin{bmatrix} 1 & 0 & 0 & 0 & 0 \\ 0 & 1 & 0 & 0 & 0 \\ 0 & 0 & 1 & 0 & 0 \end{bmatrix}$$

# 飞机垂面运动控制

— automatic control — automatic control — automatic control — automatic control —

$$CB = \begin{bmatrix} \mathbf{0} & \mathbf{0} & \mathbf{0} \\ -0.12 & \mathbf{1} & \mathbf{0} \\ \mathbf{0} & \mathbf{0} & \mathbf{0} \end{bmatrix} \Rightarrow \alpha_2 = \mathbf{1}; CAB = \begin{bmatrix} -1.575 & \mathbf{0} & 0.732 \\ 0.125 & -0.054 & -0.055 \\ 4.419 & \mathbf{0} & -1.665 \end{bmatrix} \Rightarrow \alpha_1 = \alpha_2 = \mathbf{2}$$

$$D_0 = \begin{bmatrix} c_1^\top AB \\ c_2^\top B \\ c_3^\top AB \end{bmatrix} = \begin{bmatrix} -1.575 & \mathbf{0} & 0.732 \\ -0.120 & \mathbf{1} & \mathbf{0} \\ 4.419 & \mathbf{0} & -1.665 \end{bmatrix}$$

$$L = \begin{bmatrix} c_1^\top A^2 \\ c_2^\top A \\ c_3^\top A^2 \end{bmatrix} = \begin{bmatrix} \mathbf{0} & 0.291 & \mathbf{0} & 0.079 & 0.686 \\ \mathbf{0} & -0.054 & -0.172 & \mathbf{0} & 0.075 \\ \mathbf{0} & 0.049 & \mathbf{0} & -0.856 & -1.013 \end{bmatrix}$$

$$R = D_0^{-1} = \begin{bmatrix} 2.719 & \mathbf{0} & 1.195 \\ 0.326 & \mathbf{1} & 0.144 \\ 7.217 & \mathbf{0} & 2.572 \end{bmatrix}, F = D_0^{-1}L = \begin{bmatrix} \mathbf{0} & 0.849 & \mathbf{0} & -0.809 & 0.654 \\ \mathbf{0} & 0.048 & -0.172 & -0.097 & 0.154 \\ \mathbf{0} & 2.224 & \mathbf{0} & -1.632 & 2.344 \end{bmatrix}$$



# 飞机垂面运动控制

— automatic control — automatic control — automatic control — automatic control —

闭环系统状态方程与传递函数矩阵：

$$A - BF = \begin{bmatrix} 0 & 0 & 1.132 & 0 & -1 \\ 0 & 0 & 0 & 0 & 0 \\ 0 & 0 & 0 & 1 & 0 \\ 0 & 0 & 0 & 0 & 0 \\ 0 & 0 & 0 & 1.132 & 0 \end{bmatrix}$$
$$BR = \begin{bmatrix} 0 & 0 & 0 \\ 0 & 1 & 0 \\ 0 & 0 & 0 \\ 0 & 0 & 1 \\ -1 & 0 & 0 \end{bmatrix}, \quad C = \begin{bmatrix} 1 & 0 & 0 & 0 & 0 \\ 0 & 1 & 0 & 0 & 0 \\ 0 & 0 & 1 & 0 & 0 \end{bmatrix}$$

容易计算验证：  $G_L(s) = C(sI - A + BF)^{-1}BR = \begin{bmatrix} \frac{1}{s^2} & & \\ & \frac{1}{s} & \\ & & \frac{1}{s^2} \end{bmatrix}$

# 解耦阶常数的性质

---

# 解耦阶常数的不变性

— automatic control — automatic control — automatic control — automatic control —

定理：系统  $(A, B, C)$  经任意  $\{F, R\}$  ( $\det R \neq 0$ ) 变换为闭环系统  $(A - BF, BR, C)$ ，则变换后解耦阶常数不变。

证：计算  $\{F, R\}$  变换后系统的解耦阶常数：

$$\begin{aligned} & c_i^\top (A - BF)^k BR && (k < \alpha_i) \\ &= c_i^\top (A - BF)(A - BF)^{k-1} BR && \text{【}\because c_i^\top B = 0 \text{】} \\ &= c_i^\top A(A - BF)(A - BF)^{k-2} BR && \text{【}\because c_i^\top AB = 0 \text{】} \\ &\vdots \\ &= c_i^\top A^k BR \end{aligned}$$

上述关系对  $k < \alpha_i$  都成立，由  $\det R \neq 0$ ，系统变换前后解耦阶常数  $\alpha_1, \dots, \alpha_m$  不变。

# 可解耦矩阵的变换关系

— automatic control — automatic control — automatic control — automatic control —

设原系统的可解耦矩阵为  $D_0$ ，则经过  $(F, R)$  变换后闭环系统的可解耦矩阵为：

$$D = \begin{bmatrix} c_1^\top (A - BF)^{\alpha_1-1} BR \\ \vdots \\ c_m^\top (A - BF)^{\alpha_m-1} BR \end{bmatrix} = \begin{bmatrix} c_1^\top A^{\alpha_1-1} BR \\ \vdots \\ c_m^\top A^{\alpha_m-1} BR \end{bmatrix} = D_0 R.$$

可解耦矩阵与输入变换有关，但与反馈系数无关.

# 解耦阶常数与传递函数矩阵

— automatic control — automatic control — automatic control — automatic control —

定理: 记  $G_O(s) = C(sI - A)^{-1}B$  为线性定常系统  $(A, B, C)$  的传递函数阵, 其第  $i$  行为  $g_i^T(s)$ , 则解耦阶常数

$$\alpha_i = d_i - n_i,$$

其中  $d_i$  是  $g_i^T(s)$  各元素通分后分母多项式的阶次,  $n_i$  为各元素分子多项式的最大阶次。可解耦矩阵  $D_0$  第  $i$  行的各元素等于  $g_i^T(s)$  对应分子多项式  $n_i$  次幂项的系数。

$$\text{例: } G_O(s) = \frac{1}{s^3+3s^2+2s} \begin{bmatrix} 2s^2 + 3s & s^2 \\ -s & s^2 \end{bmatrix} \xrightarrow[\alpha_2=3-2=1]{\alpha_1=3-2=1} D_0 = \begin{bmatrix} 2 & 1 \\ 0 & 1 \end{bmatrix}$$

# 解耦阶常数与传递函数矩阵

— automatic control — automatic control — automatic control — automatic control —

证：根据Fedeeva算法可知

$$g_i^\top(s) = c_i^\top (sI - A)^{-1} B = c_i^\top \frac{P(s)}{\psi(s)} B,$$

其中  $\psi(s) = s^n + \beta_1 s^{n-1} + \dots + \beta_{n-1} s + \beta_n$ ,

$$P(s) = p_0(s)A^{n-1} + p_1(s)A^{n-2} + \dots + p_{n-2}(s)A + p_{n-1}(s)I$$

其中  $p_i(s)$  是幂次为  $i$  的首一多项式。

根据耦合阶常数定义：  $c_i^\top A^k B = 0$ ,  $0 \leq k < \alpha_i - 1$ , 故

$$\begin{aligned} g_i^\top(s) &= \frac{1}{\psi(s)} [p_0(s)c_i^\top A^{n-1} B + \dots + p_{n-1}(s)c_i^\top B] \\ &= \frac{1}{\psi(s)} [p_0(s)c_i^\top A^{n-1} B + \dots + p_{n-\alpha_i}(s)c_i^\top A^{\alpha_i-1} B] \end{aligned}$$

# 解耦阶常数与传递函数矩阵

— automatic control — automatic control — automatic control — automatic control —

$$\mathbf{g}_i^\top(s) = \frac{1}{\psi(s)} [p_0(s) \mathbf{c}_i^\top \mathbf{A}^{n-1} \mathbf{B} + \cdots + p_{n-\alpha_i}(s) \mathbf{c}_i^\top \mathbf{A}^{\alpha_i-1} \mathbf{B}]$$

可见  $\mathbf{g}_i^\top(s)$  分母多项式和最高阶分子多项式的阶数为

$$d_i = n, \quad n_i = n - \alpha_i \Rightarrow d_i - n_i = \alpha_i$$

且  $n_i$  次幂项的系数  $\mathbf{c}_i^\top \mathbf{A}^{\alpha_i-1} \mathbf{B}$  恰为可解耦矩阵  $\mathbf{D}_0$  的第  $i$  行。证毕。

注：解耦阶常数  $\alpha_i$  等于  $\mathbf{g}_i^\top(s)$  各元素的最小相对阶。

## 附：Fedeeva 算法

— automatic control — automatic control — automatic control — automatic control —

$$(sI - A)^{-1} = \frac{P(s)}{\psi(s)}$$

其中

$$\psi(s) = \det(sI - A) = s^n + \beta_1 s^{n-1} + \cdots + \beta_{n-1} s + \beta_n$$

$$P(s) = \text{adj}(sI - A) = P_0 s^{n-1} + P_1 s^{n-2} + \cdots + P_{n-2} s + P_{n-1}$$

$$\text{则 } P_0 = I, \quad P_1 = AP_0 + \beta_1 I, \quad P_2 = AP_1 + \beta_2 I, \quad \cdots, \quad P_{n-1} = AP_{n-2} + \beta_{n-1} I, \quad 0 = AP_{n-1} + \beta_n I$$

$$\text{其中 } \beta_k = -k^{-1} \text{tr}(AP_{k-1}), \quad k = 1, \cdots, n.$$



## 附：Fedeeva 算法

— automatic control — automatic control — automatic control — automatic control —

- $$\begin{aligned} P_k &= AP_{k-1} + a_k I \\ &= A(AP_{k-2} + a_{k-1}I) + a_k I = A^2 P_{k-2} + Aa_{k-1} + a_k I \\ &= A^2 (AP_{k-3} + a_{k-2}I) + Aa_{k-1} + a_k I \\ &= A^k P_0 + A^{k-1}a_1 + A^{k-2}a_2 + \cdots + A^0 a_k \\ &= A^k + A^{k-1}a_1 + A^{k-2}a_2 + \cdots + Ia_k \end{aligned}$$

## 附：Fedeeva 算法

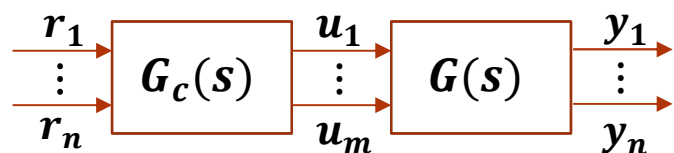
— automatic control — automatic control — automatic control — automatic control —

- $P_k = A^k + A^{k-1}a_1 + A^{k-2}a_2 + \cdots + Ia_k$
- $$\begin{aligned} P(s) &= P_0s^{n-1} + P_1s^{n-2} + \cdots + P_{n-2}s + P_{n-1} \\ &= Is^{n-1} + (A + Ia_1)s^{n-2} + (A^2 + Aa_1 + Ia_2)s^{n-3} + \\ &\quad (A^3 + A^2a_1 + Aa_2 + Ia_3)s^{n-4} + \\ &\quad \cdots + (A^k + A^{k-1}a_1 + A^{k-2}a_2 + \cdots + Ia_k)s^{n-k-1} \\ &\quad \cdots + (A^{n-2} + A^{n-3}a_1 + A^{n-4}a_2 + \cdots + Ia_{n-2})s \\ &\quad + (A^{n-1} + A^{n-2}a_1 + A^{n-3}a_2 + \cdots + Ia_{n-1}) \\ &= p_0(s)A^{n-1} + p_1(s)A^{n-2} + \cdots + p_{n-2}(s)A + p_{n-1}(s)I \end{aligned}$$

# 可解耦性与输出可控性

— automatic control — automatic control — automatic control — automatic control —

由串联解耦分析可知，系统可解耦当且仅当传递函数矩阵（右）可逆，即存在矩阵  $G_c(s)$ ，使得  $G(s)G_c(s) = I$ 。



这类系统称为右可逆的，亦称为输出可控的，即对于任何一个光滑函数  $y_0(t)$ ，都存在一个输入函数  $u_0(t)$ ，使得该输入作用下系统的输出等于  $y_0(t)$ 。

【注：自控1学到的可控性指状态可控性】

# 输出可控性指数

— automatic control — automatic control — automatic control — automatic control —

线性定常系统  $(A, B, C)$  输出可控当且仅当输出可控性矩阵：

$$Q = [CB, CAB, \dots, CA^{n-1}B] = CQ_c$$

行满秩。记  $u \rightarrow y_i$  的输出可控性矩阵（行向量）为：

$$Q_i = [c_i^T B \mid c_i^T AB \mid \dots \mid c_i^T A^{n-1}B]$$

输出可控性指数  $\mu_i$  是左起使  $Q_i$  满秩的最小分块数。

显然  $\alpha_i = \mu_i$ 。当  $g_i^T(s) = 0$  时， $\alpha_i = \infty$ ，此时可解耦矩阵  $D_0$  第  $i$  行为零，系统无法通过反馈  $\{F, R\}$  解耦。

思考：试构造一个不可  $\{F, R\}$  解耦的系统。

# 解耦控制回顾

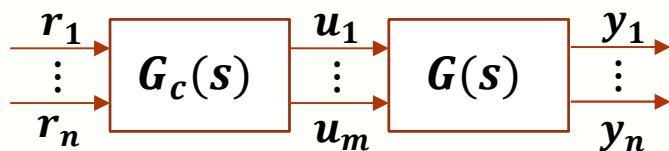
— automatic control — automatic control — automatic control — automatic control —

定义：多输入-输出系统的输入和输出变量一一对应，即传递函数为对角矩阵。

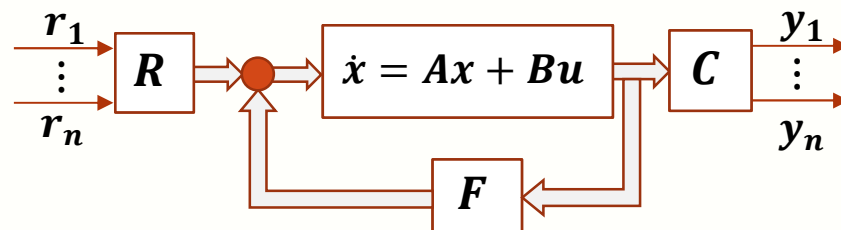
思考： $G(s) = \begin{bmatrix} \frac{1}{s} & \\ & 0 \end{bmatrix}$  是否是解耦系统？

对象输入输出个数可以不等，通过串联补偿或反馈变换实现解耦。

动态变换：串联补偿



静态变换：输入变换+状态反馈



# 解耦控制回顾

— automatic control — automatic control — automatic control — automatic control —

串联补偿:  $G_c(s) = G^{-1}(s)G_L(s)$

$\{F, R\}$ 反馈: (1) 解耦阶常数  $\alpha = (\alpha_1, \dots, \alpha_m) < \infty$ ; (2) 可解

耦矩阵  $D_0 = \begin{bmatrix} c_1^T A^{\alpha_1-1} B \\ \vdots \\ c_m^T A^{\alpha_m-1} B \end{bmatrix}$  可逆 **【 $R = D_0^{-1}$ ,  $F = D_0^{-1}L$ 】** .

性质:  $\{F, R\}$ 变换下, (1)  $\alpha$ 不变; (2)  $D_0 \rightarrow D_0 R$

思考:  $D_0$ 可逆是必要条件吗? **【可解耦  $\rightarrow D_0$ 可逆?】**

证明:  $G(s) = \begin{bmatrix} g_1(s) & & \\ & \ddots & \\ & & g_m(s) \end{bmatrix} \Rightarrow D_0 = \begin{bmatrix} d_1 & & \\ & \ddots & \\ & & d_m \end{bmatrix}$

# 本节内容

— automatic control — automatic control — automatic control — automatic control —

- (1) 改善积分型解耦的性能 → 极点配置
- (2) 不能（精确）动态解耦怎么办？ → 静态解耦
- (3) 抗外扰控制介绍

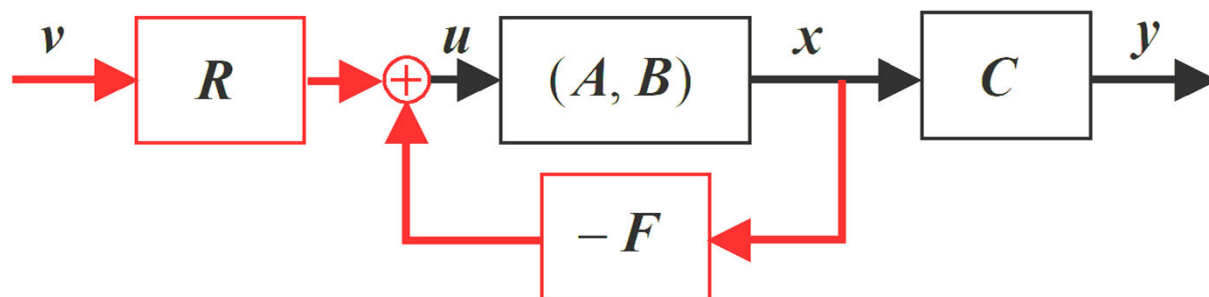
# 闭环极点配置

---



# 解耦系统的稳定性

— automatic control — automatic control — automatic control — automatic control —



通过  $u = Rv - Fx$  得到的闭环系统，虽然是解耦的，但所有极点都配置在原点，不是渐近稳定的：

$$y_i(s) = \frac{1}{s^{\alpha_i}} v_i(s), \quad i = 1, \dots, m$$

因此，需要通过改变反馈策略将极点配置到左半开平面。

# 期望闭环系统

— automatic control — automatic control — automatic control — automatic control —

希望通过极点配置改造闭环系统的传递函数：

$$G_i(s) = \frac{1}{s^{\alpha_i}} \rightarrow G_i(s) = \frac{1}{\psi_i^*(s)}$$

其中  $\psi_i^*(s)$  是一个同阶 Hurwitz 多项式：

$$\psi_i^*(s) = s^{\alpha_i} + \beta_{i1}s^{\alpha_i-1} + \dots + \beta_{i\alpha_i}$$

即期望第  $i$  个子系统满足微分方程：

$$y_i^{(\alpha_i)}(t) + \beta_{i1}y_i^{(\alpha_i-1)}(t) + \dots + \beta_{i\alpha_i}y_i(t) = v_i(t)$$

# 解耦控制律

— automatic control — automatic control — automatic control — automatic control —

$$\text{将已知关系 } y_i^{(k)} = \begin{cases} c_i^\top A^k x, & k < \alpha_i \\ c_i^\top A^{\alpha_i} x + c_i^\top A^{\alpha_i-1} B u, & k = \alpha_i \end{cases}$$

代入

$$y_i^{(\alpha_i)}(t) + \beta_{i1} y_i^{(\alpha_i-1)}(t) + \cdots + \beta_{i\alpha_i} y_i(t) = v_i(t)$$

得

$$c_i^\top \psi_i^*(A) x(t) + c_i^\top A^{\alpha_i-1} B u(t) = v_i(t)$$

$$\text{其中 } \psi_i^*(A) = A^{\alpha_i} + \beta_{i1} A^{\alpha_i-1} + \cdots + \beta_{i\alpha_i} I$$

# 解耦控制律

— automatic control — automatic control — automatic control — automatic control —

定理 系统  $(A, B, C)$  可通过反馈  $u = Rv - Fx$  解耦，并使闭环传递函数为对角阵 【注：不能配置零点.】

$$G(s) = \text{diag} \left[ \frac{1}{\psi_1(s)}, \dots, \frac{1}{\psi_m(s)} \right]$$

的充要条件是可解耦矩阵  $D_0$  非奇异，所需的矩阵解为：

$$R = D_0^{-1}, \quad F = D_0^{-1}L$$

$$\text{其中 } L = \begin{bmatrix} c_1^\top \psi_1^*(A) \\ \vdots \\ c_m^\top \psi_m^*(A) \end{bmatrix}, \quad D_0 = \begin{bmatrix} c_1^\top AB \\ \vdots \\ c_m^\top AB \end{bmatrix}.$$

# 示例：飞机控制

— automatic control — automatic control — automatic control — automatic control — automatic control —

某飞机垂面运动线性化模型：

$$\dot{x}(t) = Ax(t) + Bu(t)$$

$$y(t) = Cx(t)$$

其中状态分量

$x_1(t)$ 为高度，

$x_2(t)$ 为前向速度，

$x_3(t)$ 为俯仰角，

$x_4(t)$ 为俯仰角速度，

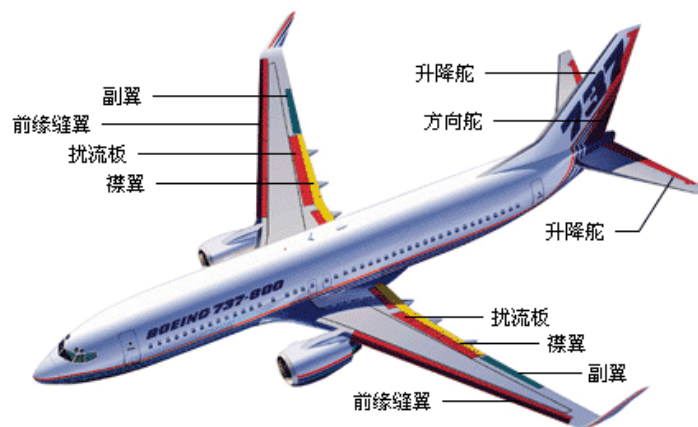
$x_5(t)$ 为垂直速度；

控制分量

$u_1(t)$ 为扰流板角度，

$u_2(t)$ 为前向加速度，

$u_3(t)$ 为升降舵角度。



$$A = \begin{bmatrix} 0 & 0 & 1.132 & 0 & -1 \\ 0 & -0.0538 & -0.1715 & 0 & 0.075 \\ 0 & 0 & 0 & 1 & 0 \\ 0 & 0.0485 & 0 & -0.8556 & -1.013 \\ 0 & -0.2909 & 0 & 1.0532 & -0.6859 \end{bmatrix}$$

$$\alpha_1 = 2, \alpha_2 = 1, \alpha_3 = 2$$

$$B = \begin{bmatrix} 0 & 0 & 0 \\ -0.12 & 1 & 0 \\ 0 & 0 & 0 \\ 4.419 & 0 & -1.665 \\ 1.575 & 0 & -0.732 \end{bmatrix}, \quad C = \begin{bmatrix} 1 & 0 & 0 & 0 & 0 \\ 0 & 1 & 0 & 0 & 0 \\ 0 & 0 & 1 & 0 & 0 \end{bmatrix}$$

# 示例：飞机控制

— automatic control — automatic control — automatic control — automatic control —

选择期望的闭环传递函数 ( $\alpha_1 = 2, \alpha_2 = 1, \alpha_3 = 2$ ) :

$$\psi_1^*(s) = s^2 + 18s + 80, \quad \psi_2^*(s) = s + 1, \quad \psi_3^*(s) = s^2 + 30s + 200$$

$$L = \begin{bmatrix} c_1^\top (A^2 + 18A + 80I) \\ c_2^\top (A + I) \\ c_3^\top (A^2 + 30A + 200I) \end{bmatrix} = \begin{bmatrix} 80 & 0.291 & 20.376 & 0.079 & -17.314 \\ 0 & 0.946 & -0.172 & 0 & 0.075 \\ 0 & 0.049 & 200 & 29.144 & -1.013 \end{bmatrix}$$

$$R = \begin{bmatrix} c_1^\top AB \\ c_2^\top B \\ c_3^\top AB \end{bmatrix}^{-1} = \begin{bmatrix} 2.719 & 0 & 1.195 \\ 0.326 & 1 & 0.144 \\ 7.217 & 0 & 2.572 \end{bmatrix},$$

$$F = RL = \begin{bmatrix} 217.529 & 0.849 & 294.490 & 35.054 & -48.290 \\ 26.103 & 1.048 & 35.167 & 4.207 & -5.720 \\ 577.333 & 2.224 & 661.473 & 75.532 & -127.556 \end{bmatrix}$$

# 示例：飞机控制

— automatic control — automatic control — automatic control — automatic control —

为保持静态时单位传输关系，调整矩阵

$$R = \begin{bmatrix} 2.719 & \mathbf{0} & 1.195 \\ 0.326 & \mathbf{1} & 0.144 \\ 7.217 & \mathbf{0} & 2.572 \end{bmatrix} \times \begin{bmatrix} \mathbf{80} & & \\ & \mathbf{1} & \\ & & \mathbf{200} \end{bmatrix}$$

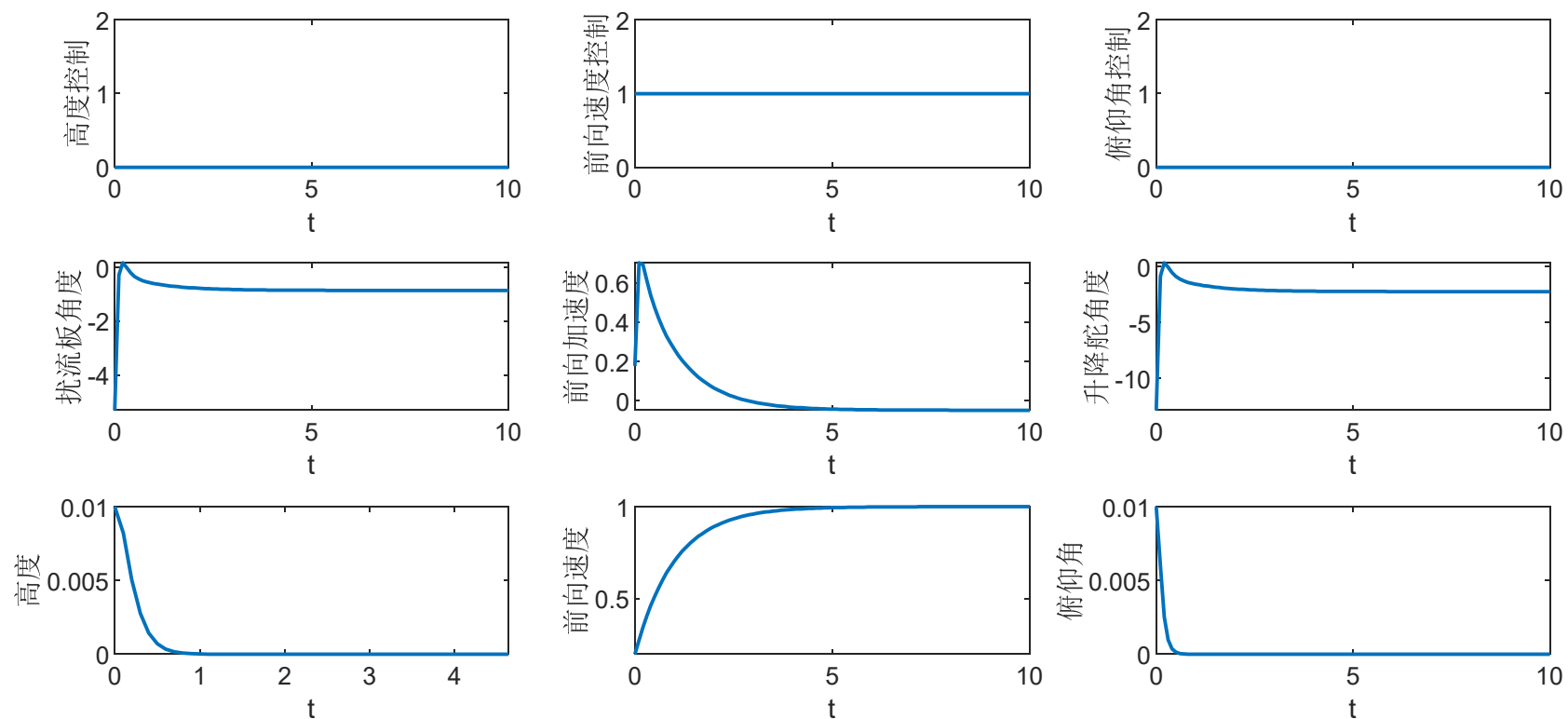
变换后的系统传递函数为：

$$G_L(s) = C(sI - A + BF)^{-1}BR$$

$$= \begin{bmatrix} \frac{1}{s^2+18s+80} & & \\ & \frac{1}{s+1} & \\ & & \frac{1}{s^2+30s+200} \end{bmatrix} \Rightarrow \begin{bmatrix} \frac{\mathbf{80}}{s^2+18s+80} & & \\ & \frac{1}{s+1} & \\ & & \frac{\mathbf{200}}{s^2+30s+200} \end{bmatrix}$$

# 仿真效果

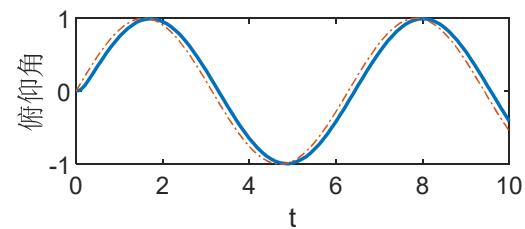
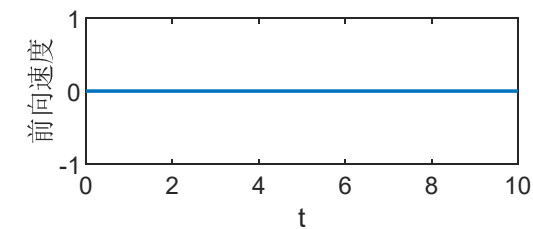
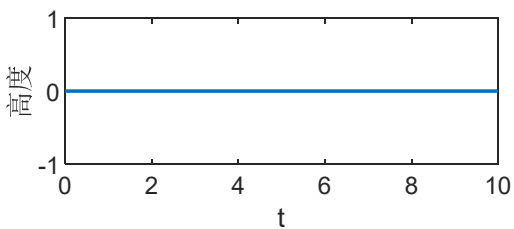
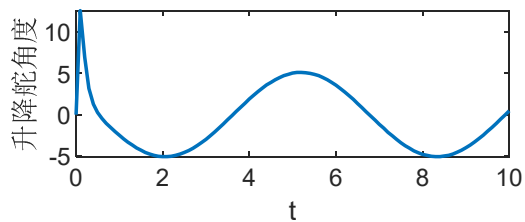
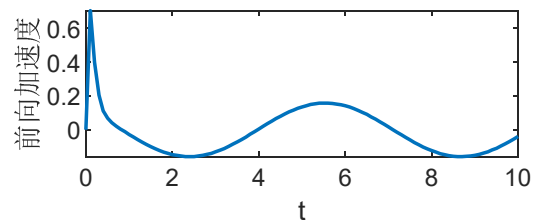
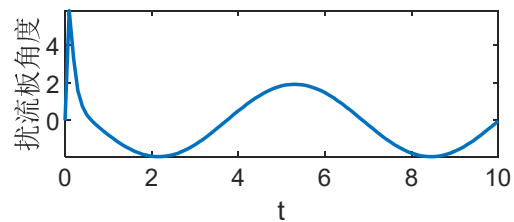
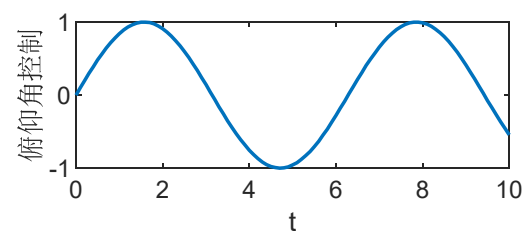
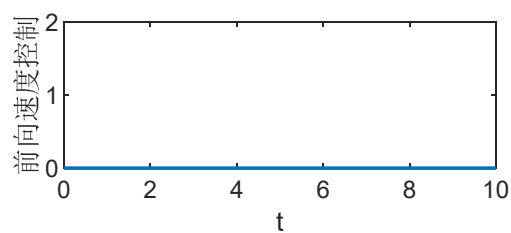
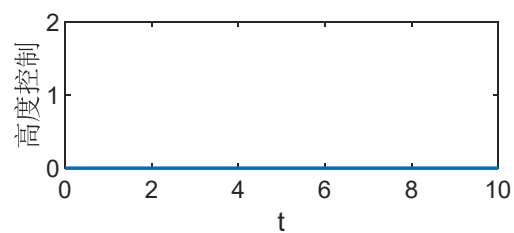
— automatic control — automatic control — automatic control — automatic control —





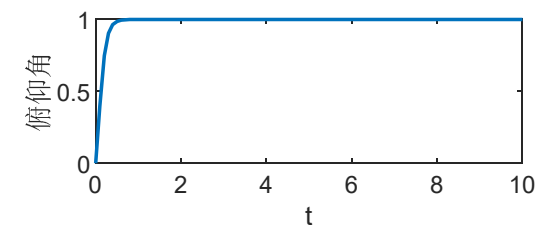
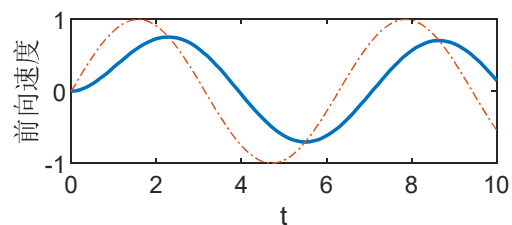
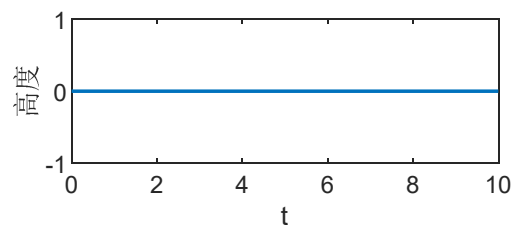
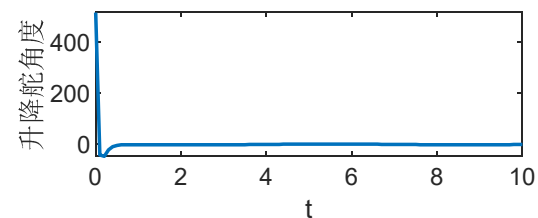
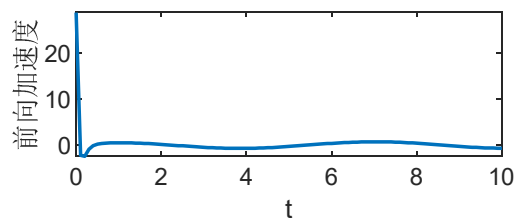
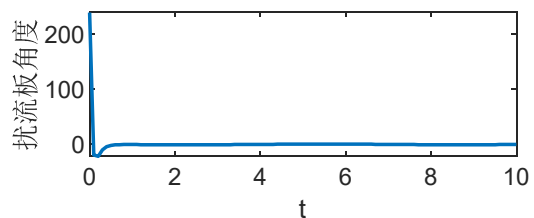
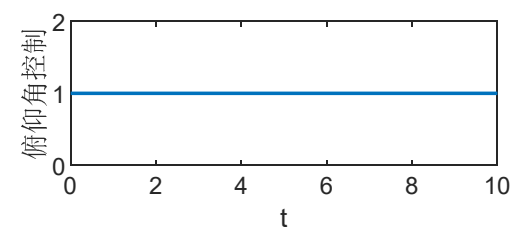
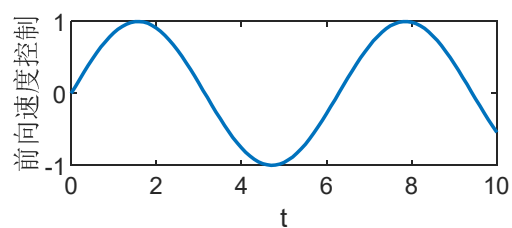
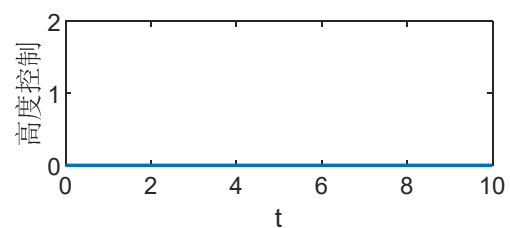
# 仿真效果

— automatic control — automatic control — automatic control — automatic control —



# 仿真效果

— automatic control — automatic control — automatic control — automatic control —



## 示例

— automatic control — automatic control — automatic control — automatic control —

为下列系统  $(A, B, C)$  设计  $\{F, R\}$  解耦并配置极点：

$$A = \begin{bmatrix} 0 & 0 & 0 \\ 0 & 0 & 1 \\ -1 & -2 & -3 \end{bmatrix} \quad B = \begin{bmatrix} 1 & 0 \\ 0 & 0 \\ 0 & 1 \end{bmatrix} \quad C = \begin{bmatrix} 1 & 1 & 0 \\ 0 & 0 & 1 \end{bmatrix}$$

解：根据之前计算  $\alpha_1 = \alpha_2 = 1$ ，故  $\alpha_1 + \alpha_2 < 3$ 。

$$Q_c = \begin{bmatrix} 1 & 0 & 0 & 0 & 0 & 0 \\ 0 & 0 & 0 & 1 & -1 & -3 \\ 0 & 1 & -1 & -3 & 3 & 7 \end{bmatrix}, Q_o = \begin{bmatrix} 1 & 1 & 0 \\ 0 & 0 & 1 \\ 0 & 0 & 1 \\ -1 & -2 & -3 \\ -1 & -2 & -3 \\ 3 & 6 & 7 \end{bmatrix}$$

## 示例

— automatic control — automatic control — automatic control — automatic control —

解：根据之前计算 $\alpha_1 = \alpha_2 = 1$ . 设目标特征多项式为：

$$\psi_1^*(s) = s + \beta_1, \quad \psi_2^*(s) = s + \beta_2$$

因此得到

$$D_0 = \begin{bmatrix} c_1^\top B \\ c_2^\top B \end{bmatrix} = \begin{bmatrix} 1 & 0 \\ 0 & 1 \end{bmatrix}, L = \begin{bmatrix} c_1^\top \psi_1^*(A) \\ c_2^\top \psi_2^*(A) \end{bmatrix} = \begin{bmatrix} \beta_1 & \beta_1 & 1 \\ -1 & -2 & \beta_2 - 3 \end{bmatrix}$$

$$R = D_0^{-1} = \begin{bmatrix} 1 & 0 \\ 0 & 1 \end{bmatrix}, \quad F = D_0^{-1}L = \begin{bmatrix} \beta_1 & \beta_1 & 1 \\ -1 & -2 & \beta_2 - 3 \end{bmatrix}$$

# 示例

— automatic control — automatic control — automatic control — automatic control —

校核闭环系统：

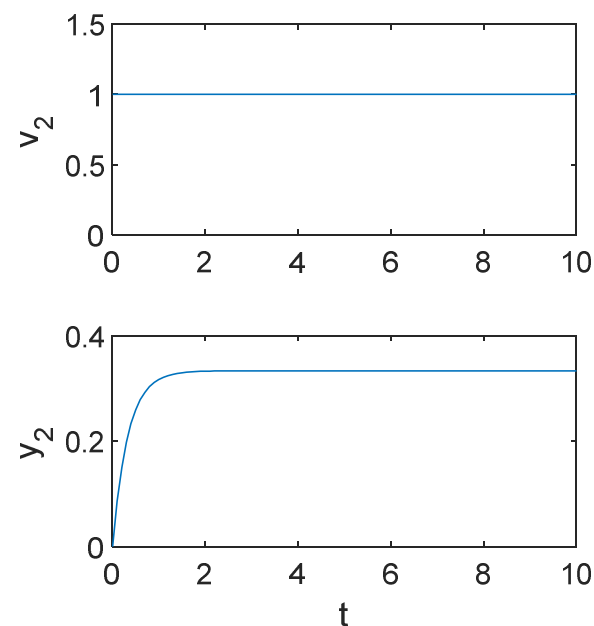
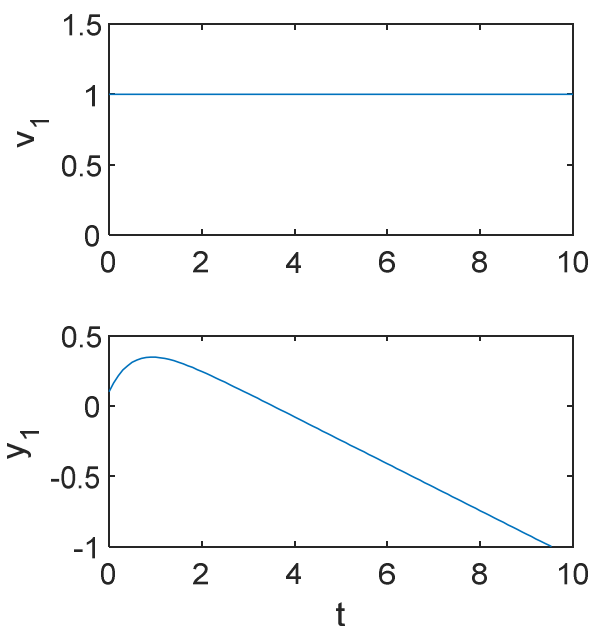
$$A - BF = \begin{bmatrix} -\beta_1 & -\beta_1 & -1 \\ 0 & 0 & 1 \\ 0 & 0 & -\beta_2 \end{bmatrix}$$

$$BR = \begin{bmatrix} 1 & 0 \\ 0 & 0 \\ 0 & 1 \end{bmatrix}, \quad C = \begin{bmatrix} 1 & 1 & 0 \\ 0 & 0 & 1 \end{bmatrix}$$

$$G_L(s) = C(sI - A + BF)^{-1}BR = \begin{bmatrix} \frac{1}{s+\beta_1} & 0 \\ 0 & \frac{1}{s+\beta_2} \end{bmatrix}$$

# 示例

— automatic control — automatic control — automatic control — automatic control —



取  $\beta_1 = -2$ ,  $\beta_2 = -3$ , 闭环系统应该动态解耦且渐进稳定, 但为什么第一个输出没有跟踪第一个输入?

# 解耦零点

— automatic control — automatic control — automatic control — automatic control —

若闭环解耦系统积分环节个数小于状态个数，即

$$\alpha = \sum_{i=1}^m \alpha_i < n$$

则意味着传递函数矩阵存在一个  $\alpha$  维状态空间实现，即  $(A - BF, BR, C)$  不是一个最小实现。

反馈改变了系统的能观性，从而产生零极相消，并且相消的极点可能是不稳定的。

问题\*：能否通过反馈实现解耦控制，并配置这些极点？

# 解耦控制的零点问题

---



# 行零点

— automatic control — automatic control — automatic control — automatic control —

设系统 $(A, B, C)$ 的传递函数阵 $G_O(s)$ 的第 $i$ 行为 $g_i^T(s)$ ，其各元素分母为系统特征多项式时，记所有分子多项式的公因子为 $n_i(s)$ ，它的根称为该行的行零点。

把各行公因子提出来，得到如下表示：

$$G_O(s) = \begin{bmatrix} n_1(s) & & \\ & \ddots & \\ & & n_m(s) \end{bmatrix} \tilde{G}_O(s) = N(s) \tilde{G}_O(s)$$

假定  $\tilde{\mathbf{G}}_O(s)$  的状态空间实现为  $(\mathbf{A}, \mathbf{B}, \tilde{\mathbf{C}})$ 。如果

- (1)  $\tilde{\Sigma}_O$  可以通过  $\{\mathbf{F}, \mathbf{R}\}$  实现解耦，且
- (2) 配置第  $i$  个子系统的极点与行零点  $n_i(s)$  相异。

则

- (1)  $\Sigma_O$  必然可以通过同样的矩阵对  $\{\mathbf{F}, \mathbf{R}\}$  实现解耦，并
- (2) 保留了相应的行零点。
- (3) 保留下来的零点数就是增配的极点数。

## $\tilde{\mathbf{C}}$ 阵的求解

— automatic control — automatic control — automatic control — automatic control —

$$\mathbf{G}_O(s) = \mathbf{C}(s\mathbf{I} - \mathbf{A})^{-1}\mathbf{B} = \mathbf{N}(s)\tilde{\mathbf{G}}_O(s) = \mathbf{N}(s)\tilde{\mathbf{C}}(s\mathbf{I} - \mathbf{A})^{-1}\mathbf{B}$$

或

$$n_i(s)\tilde{\mathbf{c}}_i^\top (s\mathbf{I} - \mathbf{A})^{-1}\mathbf{B} = \mathbf{c}_i^\top (s\mathbf{I} - \mathbf{A})^{-1}\mathbf{B}$$

根据上述公式，确定 $\tilde{\mathbf{c}}_i^\top$ 。

## 示例

— automatic control — automatic control — automatic control — automatic control —

对下列系统  $(\mathbf{A}, \mathbf{B}, \mathbf{C})$ ，解耦并配置尽可能多的极点。

$$\mathbf{A} = \begin{bmatrix} 0 & 0 & 0 \\ 0 & 0 & 1 \\ -1 & -2 & -3 \end{bmatrix} \quad \mathbf{B} = \begin{bmatrix} 1 & 0 \\ 0 & 0 \\ 0 & 1 \end{bmatrix} \quad \mathbf{C} = \begin{bmatrix} 1 & 1 & 0 \\ 0 & 0 & 1 \end{bmatrix}$$

解：由传递函数矩阵

$$\mathbf{G}_O(s) = \mathbf{C}(s\mathbf{I} - \mathbf{A})^{-1}\mathbf{B} = \frac{1}{s(s+1)(s+2)} \begin{bmatrix} s^2 + 3s + 1 & s \\ -s & s^2 \end{bmatrix}$$

可知  $\mathbf{n}_1(s) = \mathbf{1}$ ,  $\mathbf{n}_2(s) = s$ .

— automatic control — automatic control — automatic control — automatic control —

$$\mathbf{n}_1(s) = \mathbf{1} \Rightarrow \tilde{\mathbf{c}}_1^\top = \mathbf{c}_1^\top.$$

令  $\tilde{\mathbf{c}}_2^\top = [\mathbf{r}_1 \quad \mathbf{r}_2 \quad \mathbf{r}_3]$ , 由条件

$$\mathbf{n}_2(s)\tilde{\mathbf{c}}_2^\top(s\mathbf{I} - \mathbf{A})^{-1}\mathbf{B} = \mathbf{c}_2^\top(s\mathbf{I} - \mathbf{A})^{-1}\mathbf{B}$$

有

$$\begin{aligned} s[\mathbf{r}_1 \quad \mathbf{r}_2 \quad \mathbf{r}_3] \begin{bmatrix} (s+1)(s+2) & \mathbf{0} \\ -1 & s \\ -s & s^2 \end{bmatrix} &= [-s \quad s^2] \\ \Rightarrow \tilde{\mathbf{c}}_2^\top &= [\mathbf{0} \quad \mathbf{1} \quad \mathbf{0}] \quad (\mathbf{c}_2^\top = [\mathbf{0} \quad \mathbf{0} \quad \mathbf{1}]) \end{aligned}$$

对  $(A, B, \tilde{C})$  进行  $\{F, R\}$  解耦和极点配置:

由  $\tilde{G}_0(s)$  得到:  $\tilde{\alpha}_1 = 1, \quad \tilde{\alpha}_2 = 2, \quad D_0 = I_2$

对输出1 ( $\tilde{\alpha}_1 = 1$ ) , 设  $\psi_1^*(s) = s + \beta_1$

对输出2 ( $\tilde{\alpha}_2 = 2$ ) , 设  $\psi_2^*(s) = (s + \beta_2)(s + \beta_3)$

$$L = \begin{bmatrix} \tilde{c}_1^T \psi_1^*(A) \\ \tilde{c}_2^T \psi_2^*(A) \end{bmatrix} = \begin{bmatrix} \beta_1 & \beta_1 & 1 \\ -1 & -2 + \beta_2 \beta_3 & -3 + \beta_2 + \beta_3 \end{bmatrix}$$

求得  $\{F, R\}$ :  $R = D_0^{-1} = I_2, \quad F = D_0^{-1}L = L$

— automatic control — automatic control — automatic control — automatic control —

校核

$$\mathbf{G}_L(s) = \mathbf{C}(s\mathbf{I} - \mathbf{A} + \mathbf{B}\mathbf{F})^{-1}\mathbf{B}\mathbf{R}$$

$$= \begin{bmatrix} \frac{1}{s + \beta_1} & 0 \\ 0 & \frac{s}{(s + \beta_2)(s + \beta_3)} \end{bmatrix}$$

# 静态解耦控制

---



# 静态解耦系统

— automatic control — automatic control — automatic control — automatic control —

前述解耦问题又称动态解耦，希望在整个动态演化过程中，每个输入只影响相应的输出。

很多应用场景中不需要暂态过程互不影响，但当参考输入是阶跃型信号，系统达到稳态后每个输入只影响相应的输出，满足这个条件的系统称为静态解耦系统。

问题：能否设计反馈控制律  $\mathbf{u} = \mathbf{R}\mathbf{v} - \mathbf{F}\mathbf{x}$  使闭环系统  $(\mathbf{A} - \mathbf{BF}, \mathbf{BR}, \mathbf{C})$  静态解耦？

# 静态解耦条件

— automatic control — automatic control — automatic control — automatic control —

动态解耦要求传递函数矩阵渐近稳定，且  $\mathbf{G}(s)$  为非奇异对角矩阵。

静态解耦不要求  $\mathbf{G}(s)$  是对角矩阵，但要求其静态增益矩阵  $\mathbf{G}(0)$  为非奇异对角阵。

定理 系统  $(\mathbf{A}, \mathbf{B}, \mathbf{C})$  可  $\{\mathbf{F}, \mathbf{R}\}$  静态解耦的充要条件是  $(\mathbf{A}, \mathbf{B})$  可镇定且

$$\det \begin{bmatrix} \mathbf{A} & \mathbf{B} \\ \mathbf{C} & 0 \end{bmatrix} \neq 0.$$

设计分工： $\mathbf{F}$  使系统镇定， $\mathbf{R}$  使系统静态解耦。

# 静态解耦条件

— automatic control — automatic control — automatic control — automatic control —

证明：在反馈控制律  $u = Rv - Fx$  下，闭环系统

$$G_L(s) = C(sI - A_L)^{-1}BR$$

其中  $A_L = A - BF$ . 易见静态解耦条件为：

- (1) 闭环系统可镇定，即存在  $F$  使  $A_L$  为 Hurwitz 矩阵；
- (2)  $G_L(0) = -CA_L^{-1}BR$  为非奇异对角阵.

由于  $R$  是非奇异的，故矩阵  $G_L(0)$  的非奇异性由下式可见：

$$\begin{bmatrix} I & 0 \\ 0 & CA_L^{-1}B \end{bmatrix} = \begin{bmatrix} I & 0 \\ -CA_L^{-1} & I \end{bmatrix} \begin{bmatrix} A & B \\ C & 0 \end{bmatrix} \begin{bmatrix} I & 0 \\ -F & I \end{bmatrix} \begin{bmatrix} A_L^{-1} & A_L^{-1}B \\ 0 & -I \end{bmatrix}$$

若希望静态时  $G_L(0) = G_D$ ，则可以设置  $R = -(CA_L^{-1}B)^{-1}G_D$ .

## 示例

— automatic control — automatic control — automatic control — automatic control —

设计反馈控制  $\{F, R\}$  使受控系统  $(A, B, C)$  静态解耦。

$$A = \begin{bmatrix} -1 & 0 & 0 \\ 0 & -2 & -3 \\ 1 & 0 & 1 \end{bmatrix} \quad B = \begin{bmatrix} 1 & 0 \\ 0 & 1 \\ 0 & -1 \end{bmatrix} \quad C = \begin{bmatrix} 0 & 1 & 0 \\ 0 & 0 & 1 \end{bmatrix}$$

解：  $CB = \begin{bmatrix} 0 & 1 \\ 0 & -1 \end{bmatrix} \Rightarrow \alpha_1 = 1, \alpha_2 = 1.$

$D_0 = CB$  奇异  $\Rightarrow$  系统不可动态输出解耦.

$$\text{rank}[B \ AB \ A^2B] = 3$$

$$\det \begin{bmatrix} A & B \\ C & 0 \end{bmatrix} = 1 \quad \Rightarrow \text{系统可静态输出解耦.}$$

# 示例

— automatic control — automatic control — automatic control — automatic control —

(1) 选择反馈阵  $F$

$A$  的特征值为：  $-1, -2, +1$ ，通过反馈  $u_2 = -4x_3$  将不稳定极点配置到  $-3$ ，得到：

$$F = \begin{bmatrix} 0 & 0 & 0 \\ 0 & 0 & -4 \end{bmatrix}, \quad A_L = A - BF = \begin{bmatrix} -1 & 0 & 0 \\ 0 & -2 & 1 \\ 1 & 0 & -3 \end{bmatrix}$$

(2) 计算输入变换阵  $R$

$$A_L^{-1} = -\frac{1}{6} \begin{bmatrix} 6 & 0 & 0 \\ 1 & 3 & 1 \\ 2 & 0 & 2 \end{bmatrix}, \quad CA_L^{-1}B = -\frac{1}{6} \begin{bmatrix} 1 & 2 \\ 2 & -2 \end{bmatrix}$$

选择期望的  $G_L(0) = I$ ，则  $R = -(CA_L^{-1}B)^{-1} = \begin{bmatrix} 2 & 2 \\ 2 & -1 \end{bmatrix}$

# 示例

— automatic control — automatic control — automatic control — automatic control —

## (3) 校验闭环传递函数

$$\mathbf{G}_L(s) = \mathbf{C}(s\mathbf{I} - \mathbf{A}_L)^{-1}\mathbf{B}R$$

$$= \frac{1}{(s+1)(s+2)(s+3)} \begin{bmatrix} 2(s^2 + 3s + 3) & -s(s+3) \\ -2s(s+2) & (s+2)(s+3) \end{bmatrix}$$

可知闭环系统渐稳，且  $\mathbf{G}_L(0) = \begin{bmatrix} 1 & 0 \\ 0 & 1 \end{bmatrix}$  是对角的。

- 可实现静态解耦的系统未必能实现动态解耦
- 可实现动态解耦的系统一定能实现静态解耦

# 飞机垂面运动控制

— automatic control — automatic control — automatic control — automatic control — automatic control —

某飞机垂面运动线性化模型：

$$\dot{x}(t) = Ax(t) + Bu(t)$$

$$y(t) = Cx(t)$$

其中状态分量

$x_1(t)$ 为高度，

$x_2(t)$ 为前向速度，

$x_3(t)$ 为俯仰角，

$x_4(t)$ 为俯仰角速度，

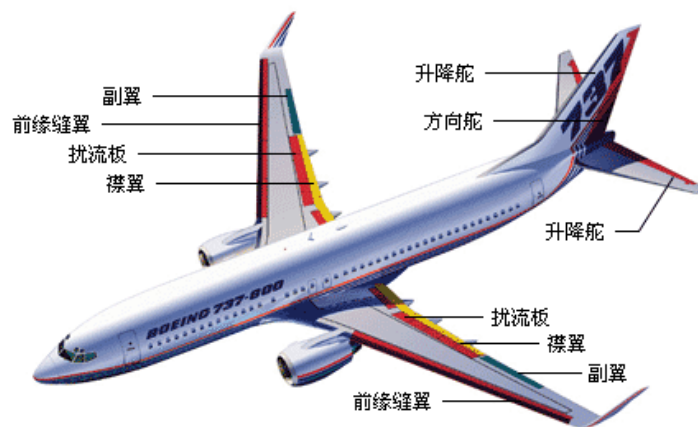
$x_5(t)$ 为垂直速度；

控制分量

$u_1(t)$ 为扰流板角度，

$u_2(t)$ 为前向加速度，

$u_3(t)$ 为升降舵角度。



$$A = \begin{bmatrix} 0 & 0 & 1.132 & 0 & -1 \\ 0 & -0.0538 & -0.1715 & 0 & 0.075 \\ 0 & 0 & 0 & 1 & 0 \\ 0 & 0.0485 & 0 & -0.8556 & -1.013 \\ 0 & -0.2909 & 0 & 1.0532 & -0.6859 \end{bmatrix}$$

$$B = \begin{bmatrix} 0 & 0 & 0 \\ -0.12 & 1 & 0 \\ 0 & 0 & 0 \\ 4.419 & 0 & -1.665 \\ 1.575 & 0 & -0.732 \end{bmatrix}, \quad C = \begin{bmatrix} 1 & 0 & 0 & 0 & 0 \\ 0 & 1 & 0 & 0 & 0 \\ 0 & 0 & 1 & 0 & 0 \end{bmatrix}$$

# 飞机垂面运动控制

— automatic control — automatic control — automatic control — automatic control —

## (1) 可静态解耦性分析

- $\det \begin{bmatrix} A & B \\ C & 0 \end{bmatrix} = 0.6123 \neq 0$
- $\text{Rank } Q_{c1} = \text{Rank} [b_1 \ Ab_1 \ A^2b_1 \ A^3b_1 \ A^4b_1] = 5$

可知  $(A, b_1)$  是可控对，因此该系统是可静态解耦的。



# 飞机垂面运动控制

— automatic control — automatic control — automatic control — automatic control —

## (2) 设计镇定反馈律 $F$

因为  $(A, b_1)$  是可控对，故可只利用  $u_1$  反馈，通过反馈

$$F = \begin{bmatrix} -1598.7 & -10676.9 & -4744.1 & -1466.6 & 3309.9 \\ 0 & 0 & 0 & 0 & 0 \\ 0 & 0 & 0 & 0 & 0 \end{bmatrix}$$

将闭环极点配置在  $\{-1, -2, -3, -4, -5\}$ .

MATLAB 命令:  $p = [-1, -2, -3, -4, -5]; F = \text{place}(A, B(:,1), p)$

# 飞机垂面运动控制

— automatic control — automatic control — automatic control — automatic control —

## (3) 计算输入变换矩阵 $R$

根据已经确定的反馈矩阵  $F$

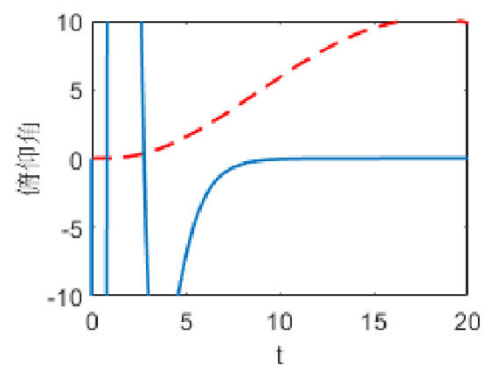
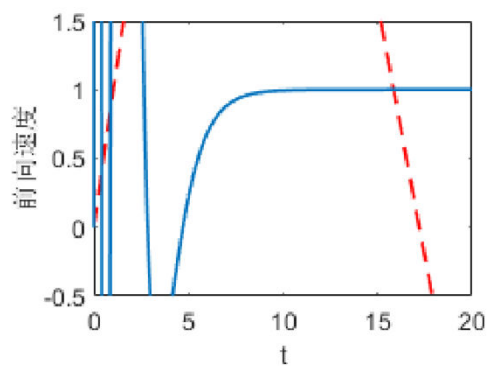
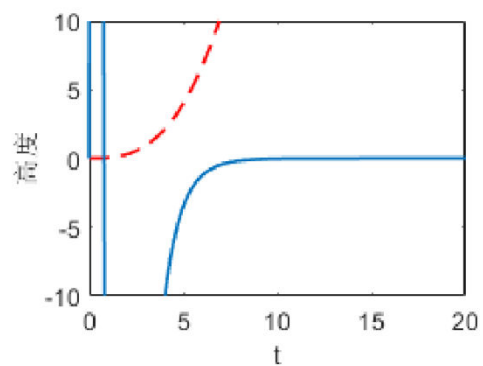
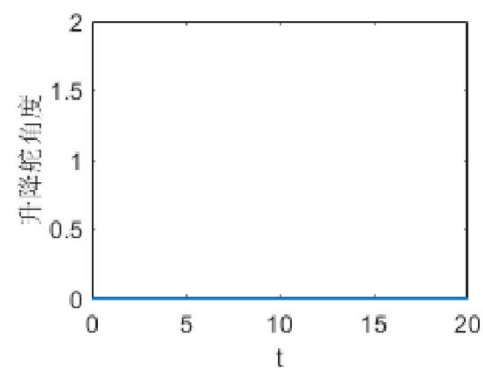
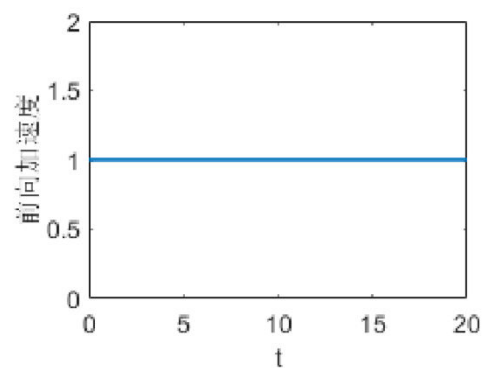
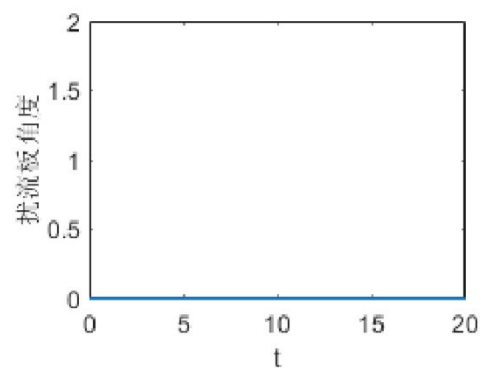
$$A_L = A - BF = \begin{bmatrix} 0.0 & 0.0 & 1.1 & 0.0 & -1.0 \\ -191.8 & -1281.3 & -569.5 & -176.0 & 397.3 \\ 0.0 & 0.0 & 0.0 & 1.0 & 0.0 \\ 7064.6 & 47181.5 & 20964.2 & 6480.1 & -14627.7 \\ 2517.9 & 16815.9 & 7472.0 & 2311.0 & -5213.8 \end{bmatrix}$$

选择静态传递函数矩阵  $G_D = I$ :

$$R = -[C(A_L)^{-1}B]^{-1}G_D = \begin{bmatrix} -1598.7 & -10677.8 & -998.0 \\ 0.0 & 0.0 & 0.0 \\ 0.0 & -2.2 & -2.7 \end{bmatrix}$$

# 仿真检验

— automatic control — automatic control — automatic control — automatic control —



# 本章总结

— automatic control — automatic control — automatic control — automatic control —

1. 基本概念
2. 串联补偿器方法
3.  $\{F, R\}$ 解耦及其可解耦条件 **【 $\alpha, D_0$ 】**
4. 解耦阶常数的性质
5. 闭环极点配置
6. 静态解耦控制